

ANNEXE III-A-6

Projet Goro Nickel

DEMANDE D'AUTORISATION D'EXPLOITER DES INSTALLATIONS CLASSEES

MILIEU ECOLOGIQUE TERRESTRE

MILIEU ECOLOGIQUE MARIN

- A2EP / Rescan, Caractérisation du milieu marin Communautés biologiques coralliennes, août 2000
- Professeur Chauvet, 15 stations d'étude Canal de la Havannah, 2002
- Pierre Laboute Entreprise, Expertise rapide du site et comparaison avec d'autres sites similaires de la baie du Prony. octobre novembre 2004
- Pierre Laboute Entreprise, Caractérisation des communautés biologiques du banc lonontéa dans le canal de la Havannah, mai juin 2004
- Sabrina Virly, Caractérisation des communautés marines biologiques autour du futur émissaire en mer du projet Goro Nickel, mai 2005
- Pierre Laboute Entreprise, Rapport de la réalisation d'un état de référence des peuplements récifaux et poissons associés sur 6 stations du canal de la Havannah, juillet 2005
- A2EP, Etat de référence des peuplements récifaux et poissons associés Baie de Prony et Canal de la Havannah, août 2005
- Association pour la Sauvegarde de la Nature Néo-Calédonienne, Etude tortues marines, mai 2002 – septembre 2003
- Claire Garrigue, Synthèse des connaissances sur les baleines à bosse et autres mammifères marins dans la zone sous influence du projet Goro - Nickel pour la période 2000-2003 et 2005
- SOPRONER, Caractérisation du milieu marin le long du tracé de l'émissaire du projet Goro Nickel, mai 2007



ANNEXE III-A-6-1

A2EP / Rescan, Caractérisation du milieu marin - Communautés biologiques coralliennes, août 2000





EVALUATION ENVIRONNEMENTALE DU PROJET GORO NICKEL – 539-3

VOLET BIO-PHYSIQUE

CARACTERISATION DU MILIEU MARIN (Communautés biologiques coraliennes)

Association Calédonienne de Recherche en Environnement Marin Université de Nouvelle Calédonie (LERVEM)

Août 2000 Rapport A2EP NCE 00/08 01

EVALUATION ENVIRONNEMENTALE DU PROJET GORO NICKEL – 539-3

VOLET BIO-PHYSIQUE

CARACTÉRISATION DU MILIEU MARIN (Communautés biologiques coralliennes)

C. CHAUVET / L. WANTIEZ (UNC / LERVEM)
S. SARRAMEGNA (ACREM)
revu par R. REBATEL

SOMMAIRE

	INTF	RODUCTION – OBJECTIFS DE L'ÉTUDE	1
1	LOC	CALISATION DES SITES D'ÉTUDE	2
	1.1 1.2 1.3 1.4	Baie du Prony	2 2 2
2	MÉT	THODE D'ÉCHANTILLONNAGE	4
	2.1	Echantillonnage du substrat	5
	2.2	Echantillonnage du macrobenthos	
	2.3	Echantillonnage des poissons	6
3	RES	SULTATS	7
	3.1	Baie du Prony	
		3.1.1 L'îlot Casy (Station n°1):	
		3.1.2 Le Wharf (Station n°2):	
	3.2	Baie Kwé	
		3.2.2 La zone Nord-Est (Station n°4):	
		3.2.3 La zone Nord-Ouest (Station n°5) :	
		3.2.4 La zone Sud-Ouest (Station n°6) :	11
	3.3	Canal Woodin (Station n°7)	12
	3.4	Baie de Goro (Station n°8)	13
4	SYN	ITHESE	14
	4.1	La baie du Prony	14
	4.2	Baie Kwé	
	4.3	Le canal Woodin	15
	4.4	La baie de Goro	16
5	LES	MAMMIFÈRES MARINS	16
	5.1	La Répartition spatiale	16
	5.2	La Répartition temporelle	16
	5.3	Estimation de la taille de la population	
	5.4	Comportements migratoires	17
6	CON	NCLUSIONS	17
7	RÉF	FÉRENCES BIBLIOGRAPHIQUES	18

LISTE DES TABLEAUX

Tableau 1 : Catégories de substrats retenus pour l'échantillonnage

Tableau 2 : Indices d'abondance semi-quantitatifs retenus pour l'échantillonnage du benthos

LISTE DES FIGURES

Figure 1 : Localisation des stations échantillonnées dans la Baie du Prony et dans la baie Kwé
Figure 2 : Localisation de la station échantillonnée dans la baie de Goro4
Figure 3 : Caractéristique de l'échantillonnage des poissons. Chaque plongeur note l'espèce, le nombre d'individus (n), la distance au transect (d1, d2) et la taille des individus
Figure 4 : Pourcentage de recouvrement des différentes classes de substrat au niveau de l'îlot Casy. St1 : station n°1
Figure 5 : Pourcentage de recouvrement des différentes classes de substrat au niveau de la pointe sud du Warf. St2 : station n°28
Figure 6 : Pourcentage de recouvrement des différentes classes de substrat au niveau de la partie Sud-Est de la baie Kwé. St3 : station n°39
Figure 7 : Pourcentage de recouvrement des différentes classes de substrat au niveau de la partie Nord-Est de la baie Kwé. St4 : station n°410
Figure 8 : Pourcentage de recouvrement des différentes classes de substrat au niveau de la partie Nord-Ouest de la baie Kwé. St5 : station n°511
Figure 9 : Pourcentage de recouvrement des différentes classes de substrat au niveau de la partie Sud-ouest de la baie Kwé. St6 : station n°6
Figure 10 : Pourcentage de recouvrement des différentes classes de substrat au niveau de la pointe des Pins. St7 : station n°713
Figure 11 : Pourcentage de recouvrement des différentes classes de substrat au niveau de la baie de Goro. St8 : station n°813
ANNEXES:

Tableaux 1 à 18: données des stations

Coordonnées géographiques des stations

INTRODUCTION: OBJECTIFS DE L'ETUDE

Ce travail s'inscrit dans le cadre de l'évaluation environnementale du projet Goro-nickel.

Ce premier rapport constitue un état d'avancement des travaux concernant la caractérisation des communautés biologiques coralliennes de la zone portuaire de Prony, de la baie Kwé, de la baie de Goro, et de 2 zones de référence représentatives de la zone d'étude. Le nombre de stations et les secteurs d'étude ont été préalablement fixés par RESCAN.

Durant les études de faisabilité du projet Goro Nickel, deux études ont été réalisées précédemment. Une, en 1994 (T&W Consultants, 1994) et une seconde complémentaire en 1996 (T&W Consultants, 1996). Une partie des stations (îlot Casy, wharf de Prony, baie Kwé) échantillonnées au cours de ces études précédentes a été retenue pour le présent travail.

Le rapport présente une première synthèse des données obtenues par T&W Consultants, complétée par les données recueillies au cours des reconnaissances effectuées en juillet 2000.

Une synthèse plus approfondie sera réalisée à l'occasion du rapport final.

Une analyse bibliographique réalisée sur les mammifères marins présents dans la zone est également présentée dans ce rapport.

PRÉSENTATION DE L'ÉQUIPE DE TRAVAIL

Dans le cadre du projet Goro Nickel, l'A2EP chargée par RESCAN de coordonner les études du volet biophysique a retenu l'ACREM (Association Calédonienne de Recherche en Environnement Marin), en collaboration avec le LERVEM laboratoire de biologie marine de l'UNC (Université de Nouvelle Calédonie) pour les études de caractérisation de l'environnement corallien.

L'étude a été réalisée par l'équipe suivante :

- Professeur Claude CHAUVET, Directeur du Laboratoire LERVEM de l'Université de Nouvelle Calédonie (U.NC), membre de l'ACREM.
- **Dr Laurent WANTIEZ**, Professeur à l'U.NC, avait participé aux études précédentes sur les communautés biologiques marines (1994 et 1996)), membre de l'ACREM.
- Dr Sébastien SARRAMEGNA, Docteur en biologie marine, membre de l'ACREM.

1 LOCALISATION DES SITES D'ÉTUDE

La caractérisation des communautés biologiques a été réalisée au niveau de plusieurs stations (wharf de Prony, la baie Kwé) susceptibles d'être affectées par le projet "GORO NICKEL" (Fig. 1).

Afin de pouvoir dégager les effets dus à l'impact de la mise en place du projet, de ceux dus aux effets des variations naturelles, 3 stations de référence (Canal Woodin, îlot Casy, baie de Goro) ont été également retenues. Ces dernières représentent les écosystèmes rencontrés dans la zone (Fig.1,2).

1.1 BAIE DU PRONY

Deux stations ont été retenues dans cette baie :

- 1 station témoin (Station n°1) située sur le récif de l'île Casy;
- 1 station (Station n°2) située àproximité du futur wharf.

1.1.1 La station témoin (Station n°1)

La station témoin se situe sur la partie "au vent" du récif de l'île Casy, par 2,5 m de profondeur (Fig. 1). Cette station a été choisie pour plusieurs raisons :

- sa position, qui la rend susceptible d'être affectée par d'éventuels accidents pouvant survenir au niveau du futur wharf ;
- sa mise en réserve depuis 1993, qui la protège d'autres sources de dégradations anthropiques ;
- la présence de données récoltées au cours de précédentes campagnes réalisées en 1994 et 1996 ;
- La présence d'une activité hôtelière.

1.1.2 La station du Wharf (Station n°2)

Cette station se situe àproximité immédiate de l'emplacement du futur Wharf, entre 3 et 6 m de profondeur, au niveau de la pointe située au sud de ce dernier (Fig. n°1). Des données concernant les communautés biologiques coralliennes ont été recueillies à proximité de ce site au cours de précédentes missions (T&W Consultants, 1994, 1996).

1.2 BAIE KWÉ

La baie Kwé a été retenue car elle est directement concernée par le projet. En effet, la rivière Kwé constituera le réceptacle final des effluents miniers. Quatre stations d'échantillonnage ont été retenues au niveau de cette baie :

- deux stations, situées à proximité de l'embouchure de la rivière Kwé, de part et d'autre de la baie (station n°4 située sur la partie est de la baie et station n°5 située sur la partie ouest de la baie) (Fig. 1).
- deux stations situées de part et d'autre de la sortie de la baie (station n°3 située sur la partie est de la baie et station n°6 sur la partie ouest de la baie) (Fig. 1).

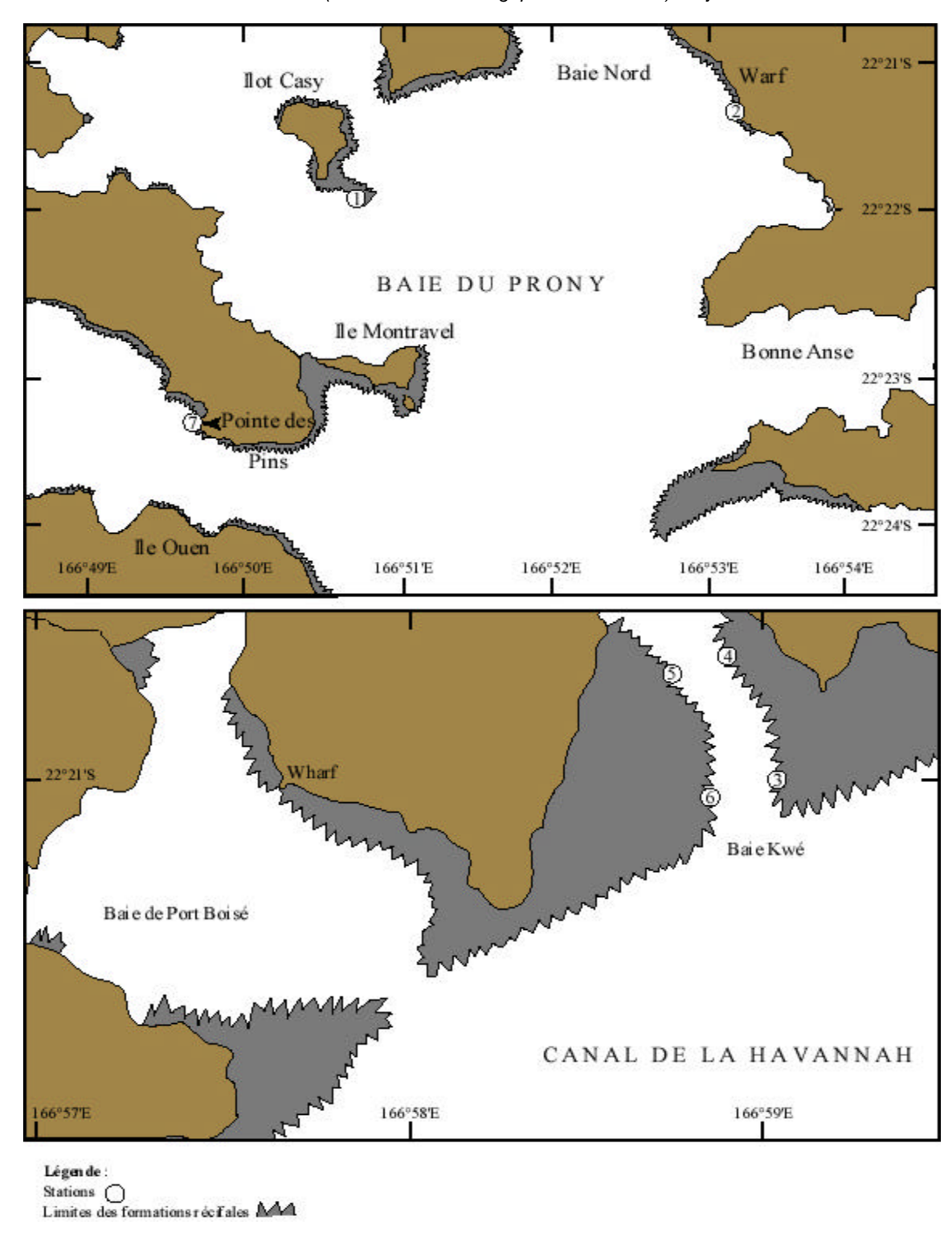


Figure 1 : Localisation des stations échantillonnées dans la Baie du Prony et dans la baie Kwé.

1.3 CANAL WOODIN

Une station témoin (Station n°7) a été choisie sur la partie "Grande Terre" du canal Woodin. Elle se situe au niveau du récif frangeant de la "Pointe des Pins", entre 2,3 et 7,2 m de profondeur (Fig. 1). Cette station, située à proximité d'une petite rivière, est soumise à des apports terrigènes (comme celles de la baie Kwé). De plus, elle est abritée des vents dominants (les alizés), comme celle du Wharf (station n°2).

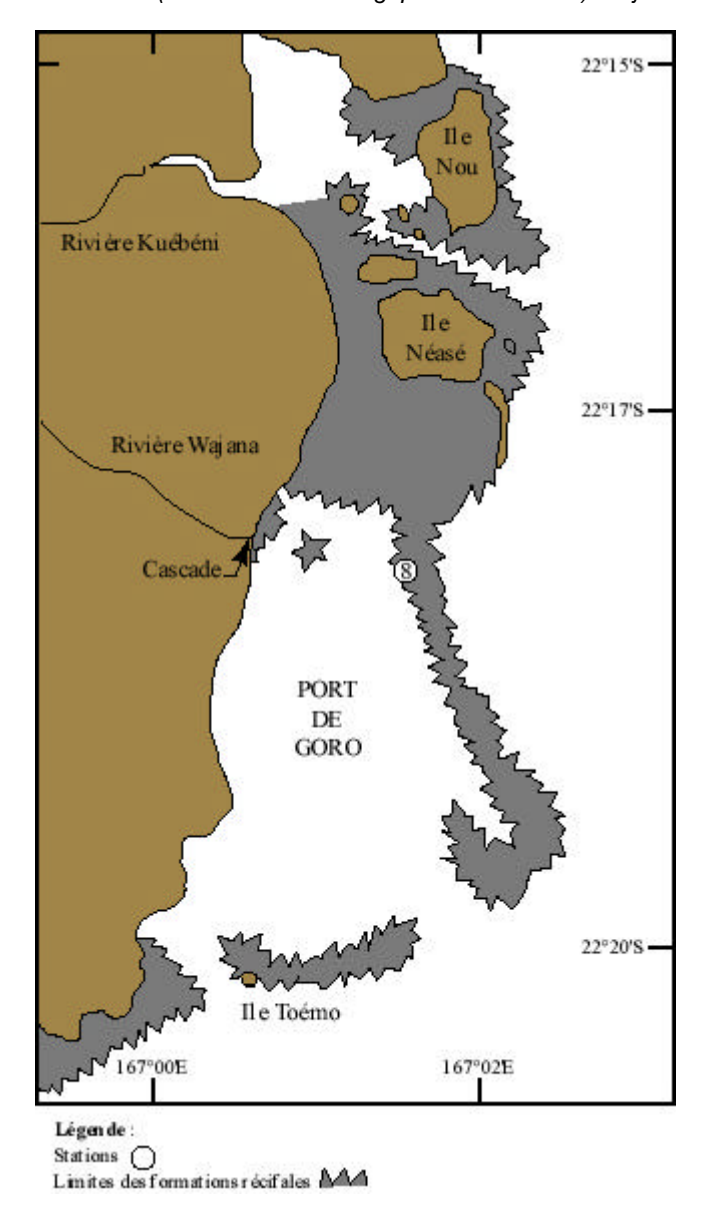


Figure 2 : Localisation de la station échantillonnée dans la baie de Goro.

1.4 BAIE DE GORO

Une troisième station de référence a été choisie dans la baie de GORO. Cette station (Station n°8) se situe en face de la cascade de GORO, à proximité du récif barrière, par 3m de profondeur (Fig.2).

2 MÉTHODE D'ÉCHANTILLONNAGE

Les récifs coralliens ont été étudiés à partir d'observations réalisées en scaphandre autonome. Chaque station a été échantillonnée le long d'un transect de 50 m matérialisé par un pentadécamètre déroulé sur le fond. Chaque station a été positionnée par GPS et repérée par des piquets, permettant ainsi un suivi temporel de ces stations. Les coordonnées des stations sont fournies en annexe.

Les caractéristiques physiques (température, salinité) des eaux ont également été enregistrées. Un inventaire quantitatif du substrat et de l'ensemble des espèces de poissons coralliens a été réalisé. La flore et la faune macrobenthique épigée ont été échantillonnées en utilisant un indice semi-quantitatif.

2.1 ECHANTILLONNAGE DU SUBSTRAT

Le substrat a été échantillonné en classant le type de fond selon différents critères sédimentologiques, pour les zones non colonisées par des organismes vivants, et selon le groupe biologique et la forme des colonies, pour les parties vivantes (Tab. 1). Le plongeur note le pourcentage de couverture de chaque classe rencontrée le long du transect. Cette méthode, appelée 'Line Intercept Transect' est détaillée dans English *et al.* (1994).

Catégori	es	Description
Corail mort		couleur blanche
Corail mort avec algues		Corail mort recouvert d'algues
Acropora	Branchu	au moins 2 niveaux de branches
	Encroûtant	
	Submassif	
	Digité	branche en forme de doigts
	Tabulaire	branches aplaties horizontalement
Non-Acropora	Branchu	au moins 2 niveaux de branches
	Encroûtant	
	Foliaire	corail en forme de feuille
	Massif	
	Submassif	
	Fungia	corail solitaire
	Millepora	corail de feu
Corail mou		
Eponges		
Zoanthaires		
Autres		Ascidies, Anémones, Gorgones, Bénitiers.
Algues	Assemblages	
	Calcaire	
	Halimeda	
	Macroalgue	
	Filamenteuse	
Abiotique	Sable	particules < 2 cm
	Débris	particules > 2 cm
	Vase	
	Eau	crevasse de plus de 50 cm
	Roche	

Tableau 1 : Catégories de substrats retenus pour l'échantillonnage

2.2 ECHANTILLONNAGE DU MACROBENTHOS

L'échantillonnage de la flore et de la faune macrobenthiques a été réalisé selon un indice d'abondance semi-quantitatif (Tab. n°2).

Indices	Limites des classes	
	Individus	% de recouvrement
1	1	< 1
2	2-5	1-2
3	6-10	3-5
4	11-50	6-20
5	> 50	>20

Tableau 2 : Indices d'abondance semi-quantitatifs retenus pour l'échantillonnage du benthos.

2.3 ECHANTILLONNAGE DES POISSONS

Les poissons récifaux ont été échantillonnés par comptage visuel sous-marin (Fig 3), selon la méthode des transects à largeur variable (Kulbicki *et al.* 1994, 1995; Kulbicki & Sarramegna, 1999). Au niveau de chaque station deux plongeurs progressent le long du transect et comptent l'ensemble des espèces qu'ils voient de part et d'autre (Fig. 5). Un plongeur compte les espèces dites 'commerciales' (grosses espèces) et l'autre les espèces dites 'non commerciales' (petites espèces). Au cours de cette opération les plongeurs notent pour chaque espèce, le nombre d'individus, estiment leurs tailles et leurs distances perpendiculaire au transect (Fig 3). Par la suite, la densité et la biomasse de poisson se calculent de la façon suivante:

- Densité
$$De = (2L)^{-1} \sum_{i=1}^p n_i d_i^{-1}$$
 - Biomasse
$$Bi = (2L)^{-1} \sum_{i=1}^p w_i d_i^{-1}$$

Les poids ont été obtenus grâce à la relation taille (L) poids (W) suivante : $W = aL^b$

Les paramètres a et b de la relation taille-poids proviennent de Kulbicki *et al.* (1993), Letourneur *et al.* (1998) et de la base de données Fisheye de l'IRD (Labrosse *et al.* 1999).

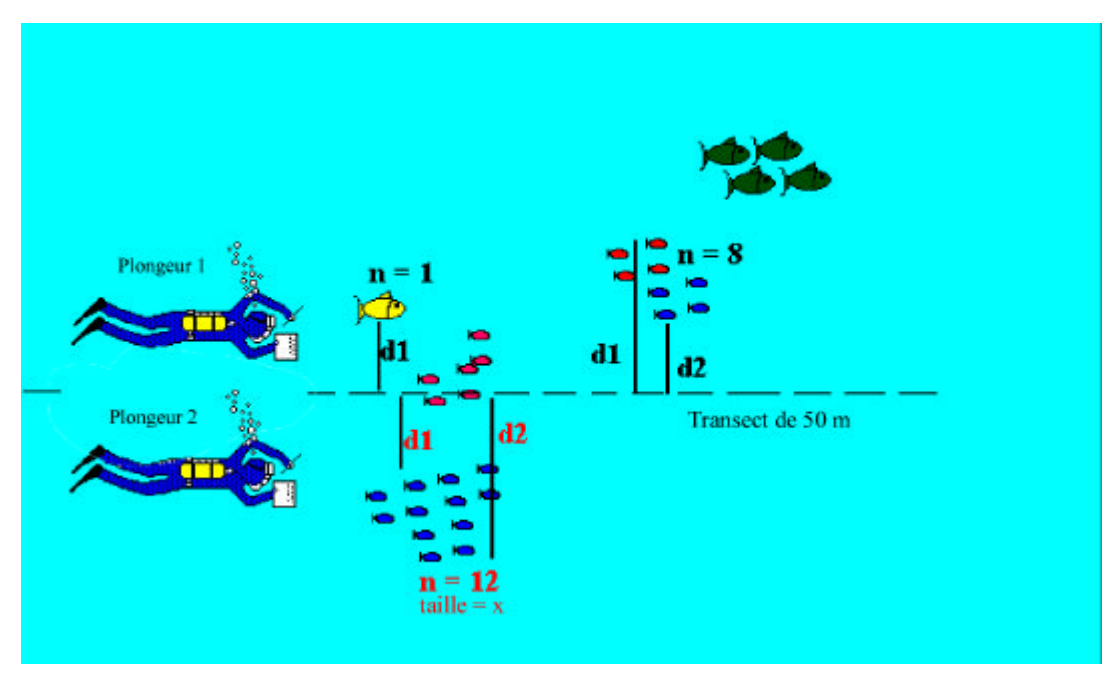


Figure 3 : Caractéristique de l'échantillonnage des poissons. Chaque plongeur note l'espèce, le nombre d'individus (n), la distance au transect (d1, d2) et la taille des individus.

3 RESULTATS

Les tableaux présentant les données de chaque station sont numérotés de 3 à 18 et classés en annexe.

3.1 BAIE DU PRONY

3.1.1 L'îlot Casy (Station n°1):

La température est de 22°C, la salinité de 36 ‰, ce qui est conforme avec les caractéristiques des eaux lagonaires de Nouvelle-calédonie. La visibilité est bonne (> 8m). Le substrat de cette station est caractérisé par la prédominance de corail vivant (Fig. 4) qui constitue plus de la moitié de la couverture (57 %). Le reste du substrat est composé de corail mort (19 %), de blocs et de dalle (20 %).

La macroflore est constituée d'algues, principalement des *Halimeda macroloba* (Tab. 3). Les autres organismes vivants recensés sur cette station sont principalement des spongiaires et des alcyonaires. Les mollusques, les échinodermes et des ascidies ont également été fréquemment observés (Tab. 3).

L'ichtyofaune de la station 1 est représentée par 54 espèces (Tab. 4). La densité est de 4.04 poissons/m². *Pomacentrus moluccensis* est l'espèce la plus abondante et représente 40.6 % de la densité totale. Parmi les espèces commerciales, *Scarus flavipectoralis* est la plus abondante avec 10.0 % de la densité totale.

La biomasse de l'ichtyofaune est de 295.8 g/m². *Acanthurus blochii* est l'espèce la plus importante (26.5 % de la biomasse totale). *Scarus flavipectoralis* vient en second avec 23.0 % de la biomasse totale (Tab. 4).

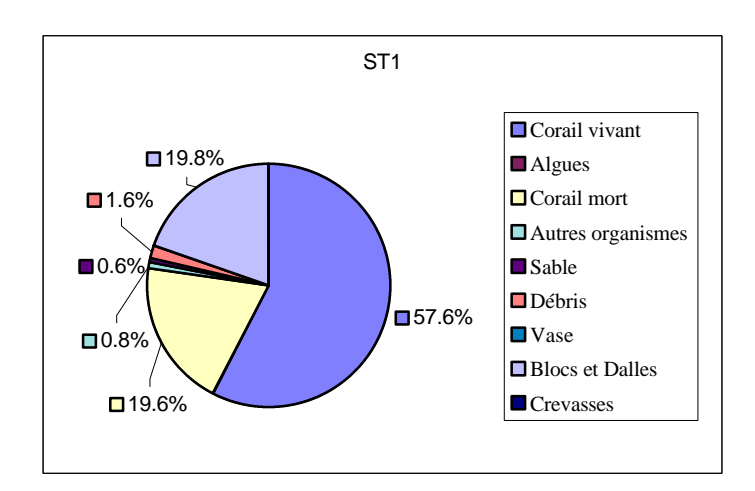


Figure 4 : Pourcentage de recouvrement des différentes classes de substrat au niveau de l'îlot Casy. St1 : station n°1.

3.1.2 Le Wharf (Station n°2):

La station n°2 est située au niveau de la pointe sud à proximité de l'emplacement du futur Wharf. La visibilité (6 m) et la température (21.5 °C) sont plus faibles que celles de la station n°1.

En revanche, la salinité (36 ‰) est identique à celle de la station n°1 et en accord avec les valeurs des eaux lagonaires de la baie du Prony. Cette station présente un substrat composé pour près de la moitié (49 %) par du corail vivant (Fig. 5). Le reste du substrat est composé de blocs et de dalles (20 %) et en proportion plus faible de corail mort (9 %) (Fig. 5).

Il faut noter par rapport à la station n°1, une proportion plus élevée de sable (8 %) et de vase (7 %).

La macroflore est constituée d'algues, notamment *Halimeda* sp. cf *capiosa* et *Halimeda macroloba* (Tab. 5). Les organismes vivants recensés sur cette station sont principalement des éponges, des coraux (*Fungia*) et des alcyonaires (*Sarcophyton*). Une espèce d'étoile de mer (*Nardoa novaecaledoniae*) est également abondante. D'autres échinodermes et des ascidies ont été fréquemment recensés.

L'ichtyofaune de la station 2 est représentée par 31 espèces (Tab. 6). La densité est de 3.64 poissons/m², *Pomacentrus smithi* représente 30.3 % du total.

Parmi les espèces d'intérêt commercial, *Scarus flavipectoralis* est la plus abondante avec 3.0 % de la densité totale.

La biomasse de l'ichtyofaune est de 36.9 g/m². *Scarus flavipectoralis* constitue àlui seul 56.8 % de la biomasse totale. Une autre espèce (*Scolopsis bilineatus*) représente 11.8 % de la biomasse totale.

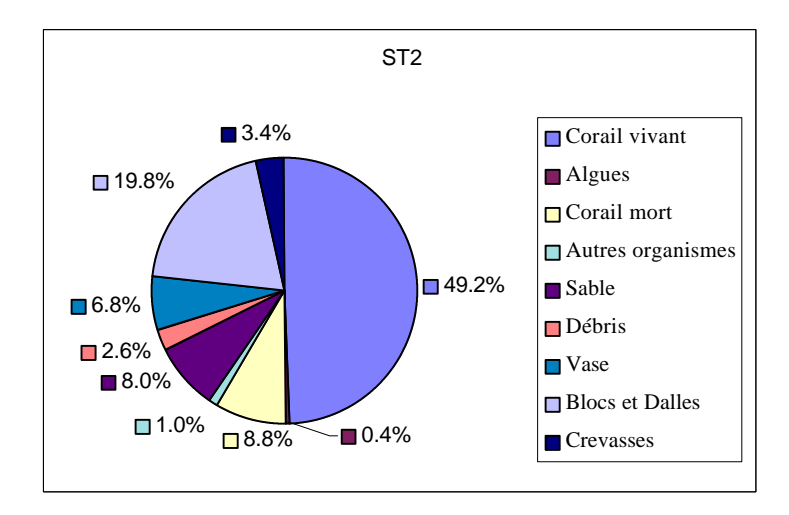


Figure 5 : Pourcentage de recouvrement des différentes classes de substrat au niveau de la pointe sud du Warf. St2 : station n°2.

3.2 BAIE KWÉ

3.2.1 La zone Sud-Est (Station n°3):

La station n°3 est située àproximité du canal de la Havannah, dans une zone abritée de la houle extérieure par le récif (Fig 1). La température (22 °C) et la salinité (36‰) sont identiques aux valeurs observées dans la baie du Prony. En revanche, la visibilité est plus faible (5m) en comparaison des valeurs observées sur les stations de la baie du Prony. Cette faible visibilité est probablement due à l'agitation du milieu causée par la houle extérieure. De plus, la présence de masses d'eau de salinités différentes, due à la présence l'estuaire de la rivière Kwé, entraîne une nébulosité importante ce qui diminue la visibilité. Cette zone est caractérisée par la prédominance de débris coralliens (60 %) (Fig. 6). Le reste du fond est recouvert de blocs et dalles pour 19 % et de sable nu (7 %). La proportion de corail vivant est faible puisqu'elle ne constitue que 10 % de la couverture du substrat (Fig. 6).

La macroflore benthique est constituée presque exclusivement par une algue, *Neomeris anulata*. Des invertébrés sont présents. Ce sont principalement des éponges (*Spirastrella vagabunda*) et des vers (*Spirobranchus giganteus*). Des échinodermes ont également été observés (Tab. 7).

L'ichtyofaune de la station 3 est représentée par 32 espèces de poissons (Tab. 8). La densité totale est de 2.14 poissons/m². 35.2 % de cette densité est due à la présence de *Pomacentrus pavo. Acanthurus blochii* (espèce commerciale) représente 12.1 % de la densité totale. La biomasse de l'ichtyofaune est de 303.4 g/m². L'espèce la plus importante est *Acanthurus blochii* avec une biomasse de 186.8 g/m², ce qui représente 61.6 % du total. *Scarus flavipectoralis* représente 26.9 % de la biomasse totale avec 81.5 g/m² (Tab. 8).

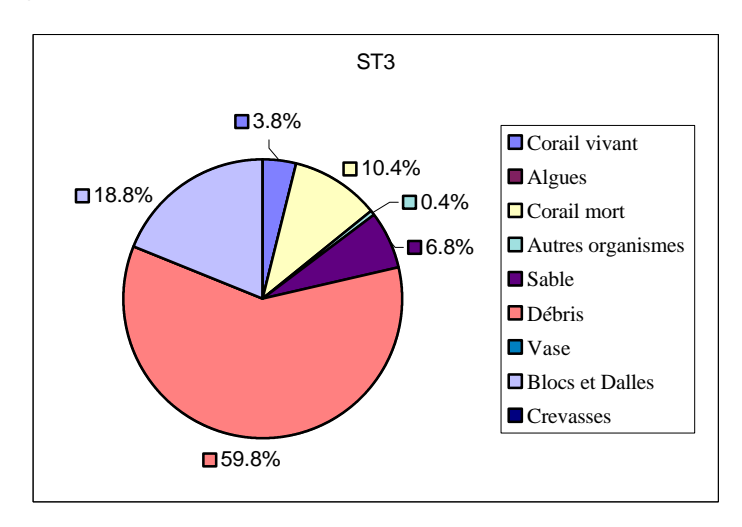


Figure 6 : Pourcentage de recouvrement des différentes classes de substrat au niveau de la partie Sud-Est de la baie Kwé. St3 : station n°3.

3.2.2 La zone Nord-Est (Station n°4):

La station n°4 située à proximité de l'embouchure de la Kwé, présente une salinité beaucoup plus faible (24 ‰) que les autres stations (Station n°1,2,3,6,7,8). Les apports d'eau douce en provenance de la rivière sont responsables de cette faible salinité. La température est de 21.5 °C, ce qui est conforme aux autres relevés. La visibilité est aussi plus faible. Le substrat de la station n°4 est composé en majorité de corail vivant (33 %) (Fig.7). Le reste du substrat est recouvert de vase (32 %) et de corail mort (17 %). Il faut noter une proportion plus importante d'algues (6 %) et d'autres organismes (8 %) au niveau de cette station (cf. Fig. 8,9,10), par rapport aux précédentes.

La macroflore benthique est principalement constituée d'algues *Actinotrichia fragilis* (Tab. 9). De nombreux coraux libres (*Fungia* sp.) et des alcyonaires (*Sarcophyton* sp.) ont également été observés. En revanche, les invertébrés sont peu nombreux. Ils ne sont représentés que par un bivalve (*Tridacna maxima*), une porcelaine (*Cyprae tigris*), l'oursin "diadème" (*Diadema setosum*) et quelques étoiles de mer (*Fromia monilis*).

L'ichtyofaune observée sur la station 4 est représentée par 38 espèces (Tab. 10). La densité est de 4.35 poissons/m². Les 3 espèces les plus abondantes sont, *Caesio caerulaurea* (20.7 % de la densité), *Neopomacentrus azysron* (17.1 % de la densité) et *Chrysiptera rollandi* (11.7 % de la densité). La biomasse de l'ichtyofaune est de 217.3 g/m². Les espèces les plus importantes sont *Lutjanus fulviflamma* (32.1 % de la biomasse) et *Caesio caerulaurea* (26.5 % de la biomasse).

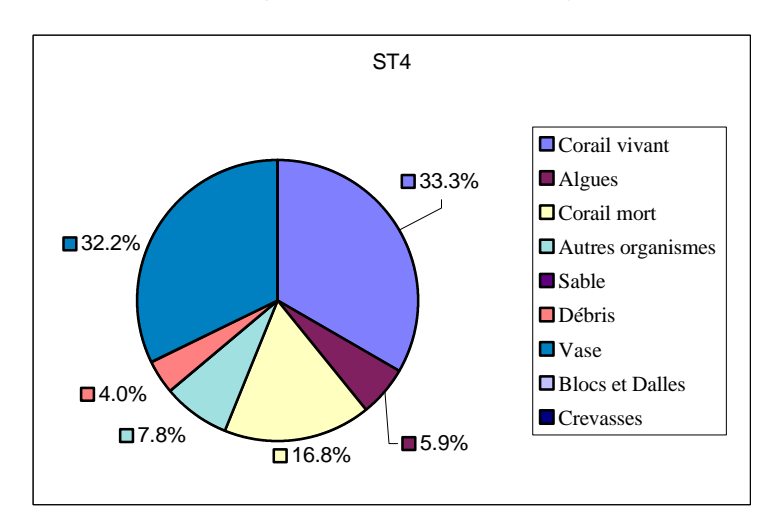


Figure 7 : Pourcentage de recouvrement des différentes classes de substrat au niveau de la partie Nord-Est de la baie Kwé. St4 : station n°4.

3.2.3 La zone Nord-Ouest (Station n°5):

La station n°5 est située face à l'estuaire de la rivière Kwé (Fig. 1). La température est de 22 °C. Elle est soumise, comme la station n°4, à l'influence de la rivière Kwé. Les conséquences sont une salinité (29 ‰) et une visibilité (4 m) faible, en raison des apports d'eau douce et de la mise en suspension de particules fines. Le substrat de cette zone est composé en majorité de vase (38 %), de corail mort (28 %) et de débris coralliens (26 %) (Fig. 8).

La macroflore est constituée d'algues, notamment *Halimeda* sp. cf. *capiosa*, *Neomeris anulata*, *Actinotricia fragilis*, *Amphiroa foliacea*, mais également de phanérogames, principalement *Cymodocea serrulata*, qui se développent sur les fonds sableux. De nombreuses éponges ont été recensées (Tab. 11). Quelques mollusques ont également été recensés (Tab. 11).

L'ichtyofaune de la station 5 est représentée par 24 espèces (Tab. 12). La densité est de 0.97 poissons/m². Quatre espèces dominent. Les espèces les plus abondantes sont *Neopomacentrus azysron* (17.7 % de la densité), *Pomacentrus pavo* (11.9 % de la densité), *Thalassoma lunare* (10.6 % de la densité) et *Pomacentrus philippinus* (10.4 % de la densité). La biomasse de l'ichtyofaune est de 10.1 g/m². A l'exception de *Echeneis naucrates*, l'espèce la plus importante est *Epinephelus merra* (20.4 % du total) (Tab. 12).

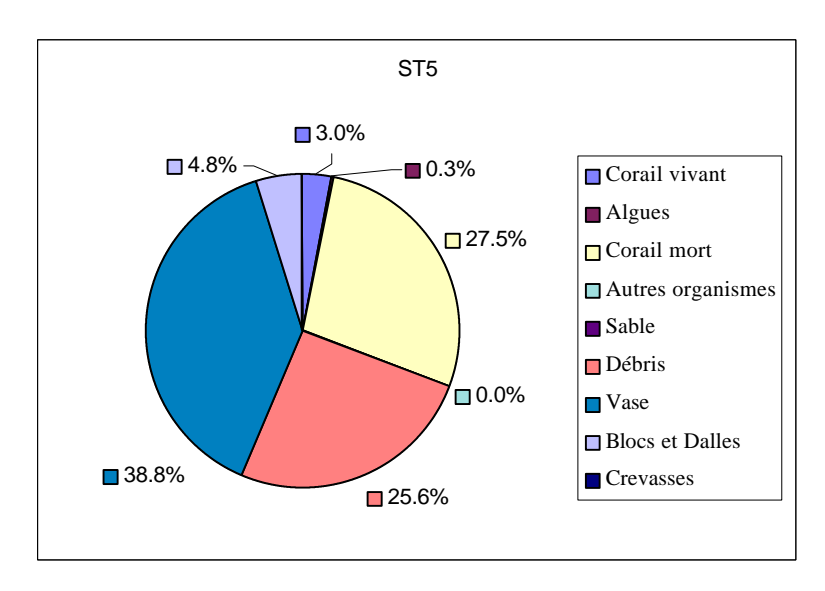


Figure 8 : Pourcentage de recouvrement des différentes classes de substrat au niveau de la partie Nord-Ouest de la baie Kwé. St5 : station n°5.

3.2.4 La zone Sud-Ouest (Station n°6):

La station n°6 est située sur le tombant du récif à proximité du canal de la Havannah. Elle est directement soumise aux vents dominants et à l'influence des eaux du canal (Fig. 1). La visibilité est bonne (8 à 10 m). Cette station étant directement sous l'influence des eaux du canal, la salinité (36 ‰) est conforme aux valeurs observées dans les eaux du lagon. La température est plus élevée avec 24 °C. Le substrat de cette station est caractérisé par la prédominance de corail vivant (52 %) et par une proportion très importante d'algues (29 %) (Fig. 9). Le reste du substrat est composé de débris coralliens (12 %) et en proportions équivalentes de corail mort, de blocs et de dalles et de sable nu (Fig. 9).

La macroflore est constituée d'algues, notamment *Halimeda* sp. cf. *capiosa*. De nombreuses éponges ont été recensées (Tab. 13). Certains coraux (*Fungia* sp.) et Alcyonaires (*Sarcophyton* sp.) sont abondants.

Les invertébrés sont peu nombreux, tant en diversité qu'en abondance. Quelques vers (*Spirobranchus giganteus*), vivant en association avec les coraux massifs, et un mollusque, *Tridacna maxima*, ont été recensés.

L'ichtyofaune de la station 6 est représentée par 58 espèces réparties (Tab. 14). La densité est de 2.88 poissons/m². Une espèce domine la communauté, *Pomacentrus moluccensis*, et constitue plus de 32.6 % de la densité totale de l'ichtyofaune. Une espèce d'intérêt commercial, *Scarus sordidus*, et la seconde espèce la plus abondante avec 11.3 % de la densité totale (Tab. 14). La biomasse de l'ichtyofaune est de 85.0 g/m². L'espèce la plus importante est *Acanthurus blochii* avec une biomasse de 15.2 g/m², ce qui représente 17.9 % du total.

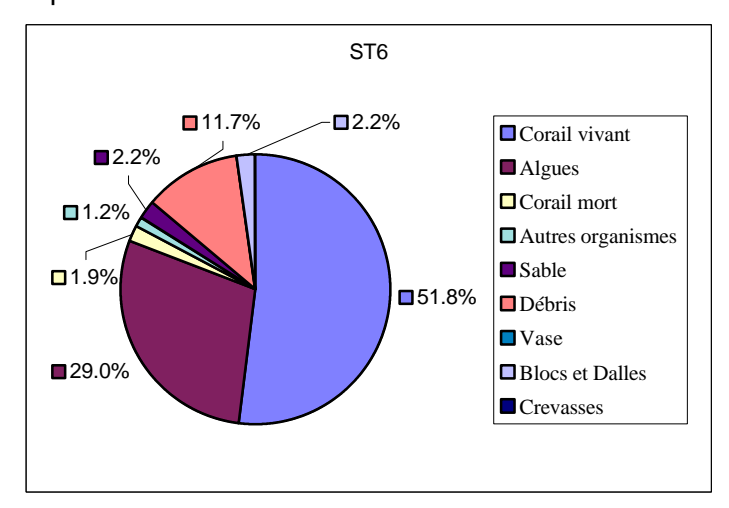


Figure 9 : Pourcentage de recouvrement des différentes classes de substrat au niveau de la partie Sud-ouest de la baie Kwé. St6 : station n°6.

3.3 CANAL WOODIN (STATION N°7)

La station n°7 est située sur le tombant à proximité de la pointe des Pins. Elle est abritée des vents dominants. La présence, à proximité de l'embouchure, d'une rivière de petite taille, montre que cette station reçoit un apport d'eau douce essentiellement en période de fortes pluies (Fig. 1). La température est de 23 °C. La visibilité est excellente (> 20m) et la salinité (37 ‰) est en accord avec les valeurs observées dans les eaux du lagon. Le substrat de cette station est caractérisé par la prédominance de corail vivant (64 %) aux formes très diverses (Fig. 10). Le reste du substrat est composé de débris coralliens (16 %) et de corail mort (15 %).

La macroflore est constituée d'algues, notamment *Halimeda macroloba*. De nombreuses éponges ont été recensées (Tab. 15). De même, certains coraux (*Fungia* sp., *Tubastrea micrantha*) et Alcyonaires (*Sarcophyton* sp.) sont très abondants. De nombreux échinodermes ont été recensés (Tab. 15). Une espèce de mollusque a été vue (*Pedum* sp. cf. *spondyloidum*).

L'ichtyofaune de la station 7 est représentée par 53 espèces (Tab. 16). La densité est de 13.7 poissons/m². Cette densité élevée est due à la présence de nombreux *Pomacentrus smithi*. Cette espèce constitue à elle seule plus de 57 % de la densité totale de l'ichtyofaune. La biomasse de l'ichtyofaune est de 514.6 g/m². L'espèce la plus importante est *Scomberomorus commerson* avec une biomasse de 273.3 g/m², ce qui représente 53.1 % du total.

La seconde espèce dont la biomasse est la plus élevée est *Scarus flavipectoralis* avec 13.3 % de la biomasse totale (Tab. 16).

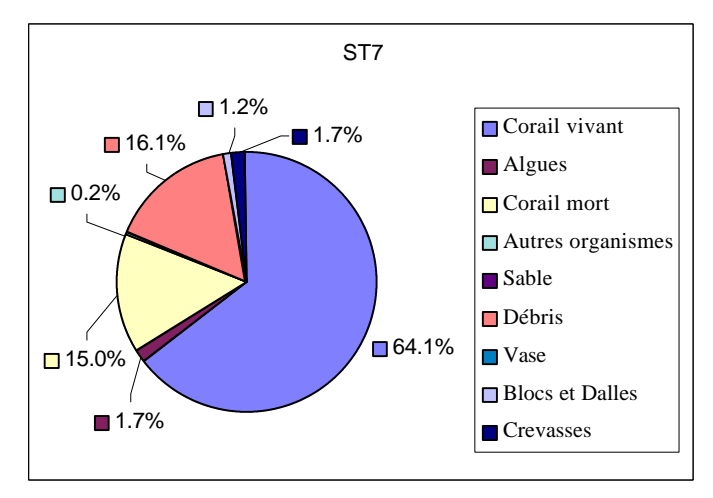


Figure 10 : Pourcentage de recouvrement des différentes classes de substrat au niveau de la pointe des Pins. St7 : station n°7.

3.4 Baie de Goro (Station N°8)

La station n°8 se situe dans la baie de Goro, face à la cascade de Goro (Fig. 2). La température est de 22 °C, la salinité est conforme aux valeurs observées dans les eaux lagonaires (36 %) et la visibilité est bonne (10 à 15 m). Le substrat de cette station est composé de corail vivant pour majorité (44 %). Ce corail se trouve sur un fond de sable corallien nu (18 %) (Fig. 11). Le reste du fond est recouvert en pourcentages équivalents de corail mort (16 %) et de débris coralliens (14 %) (Fig. 11).

La macroflore est constituée d'algues, notamment des algues du genre *Halimeda* (Tab.17). Une espèce d'éponge est abondante (Tab. 17). De même, les Alcyonaires (*Sarcophyton* sp.) sont très abondants. Plusieurs espèces d'échinodermes (genre *Holothuria* et *Telenota*) ont été recensés (Tab. 17).

L'ichtyofaune de la station 8 est représentée par 56 espèces (Tab. 18). La densité est de 3.26 poissons/m². Quatre espèces dominent cette communauté : ce sont *Chromis viridis* (17.3 % de la densité totale), *Caesio caerulaurea* (16.4 % de la densité totale), *Dascyllus aruanus* (12.7 % de la densité totale) et *Pomacentrus moluccensis* (11.8 % de la densité totale). L'espèce commerciale la plus abondante est *Scarus sordidus* avec 6.1 % de la densité. La biomasse de l'ichtyofaune est de 1912.5 g/m². Cette biomasse élevée est due à la présence de *Trianodon obesus*, qui constitue à elle seule 88.9% de la biomasse.

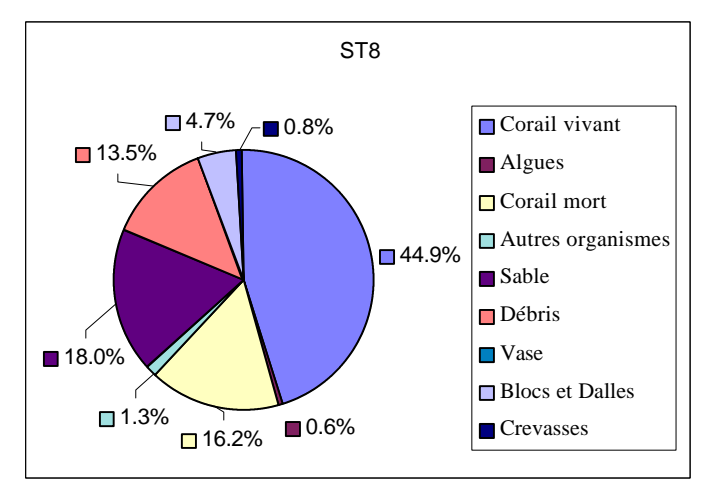


Figure 11 : Pourcentage de recouvrement des différentes classes de substrat au niveau de la baie de Goro. St8 : station n°8.

4 SYNTHESE

Les résultats obtenus au cours de cette étude ne diffèrent pas fondamentalement de ceux obtenus au cours d'études précédentes (T&W Consultants, 1994). Les quelques différences viennent probablement du positionnement des stations et de la disposition du pentadécamètre.

4.1 LA BAIE DU PRONY

La baie du Prony est la baie la plus vaste (49 km²) et la plus profonde du sud de la Nouvelle-Calédonie (Testaud et Conand, 1983). Elle présente un littoral très découpé, les fonds du lagon interne, habituellement vaseux, ont une profondeur maximale moyenne de 45 m (Dugas et Debenay, 1981 ; Laboute *et al.*, 1991). Les formations coralliennes sont localisées le long du littoral et autour des îlots. Les rivières du Carénage et des Kaoris se jettent dans la baie du Carénage, la rivière Kadji se déversant dans la Baie Nord. De plus, de nombreux creeks coulent dans les bassins versants de la baie. Les communautés littorales marines de la baie de Prony s'organisent donc en fonction de deux influences majeures, d'une part une influence continentale et d'autre part une influence océanique.

La baie du Prony abrite l'îlot Casy. Cet îlot est en réserve depuis 1993. Nos résultats montrent une proportion beaucoup plus importante de la couverture en corail vivant, par aux données précédemment recueillies (T&W Consultants, (respectivement 57% en 2000 contre 19% en 1994). Cette progression ne peut être attribuée uniquement à la mise en réserve du site bien que de nombreux mouillages aient été mis en place, limitant ainsi la destruction des coraux par les ancres de bateaux. De plus, l'interdiction de la collecte d'organismes marins sur le platier réduit sans doute la destruction des coraux par piétinement. D'autres facteurs, comme la position de la station, le positionnement du transect, peuvent cependant être responsables des différences observées dans la composition du substrat. Il faut noter aussi l'augmentation importante de la densité et de la biomasse des principales espèces à intérêts commercial (Plectropomus leopardus ou "loche saumonée", plusieurs Mullidae, Scaridae et Acanthuridae). Cette hausse est due à la mise en réserve du site et au nourrissage résultant de la présence d'un hôtel sur cet îlot. Ces caractéristiques confèrent à cette zone un intérêt écosystémique et touristique important.

Le récif frangeant localisé près du wharf de Prony a été échantillonné en raison de sa position stratégique. Les communautés, typiques de ce type de milieu, subissent des effets continentaux (petits creeks et ruissellement) et une faible influence océanique (éloignement relatif de la passe). Le platier présente une proportion importante de corail vivant (49 %), essentiellement représenté par des champs d'*Acropora* branchus et quelques coraux massifs. Ces formations sont typiques de cette baie. En effet, dans une baie vaste et profonde, les formes coralliennes particulières sont le résultat des influences océaniques et terrigènes antagonistes. Ces conditions se retrouvent dans un petit nombre de baies de Nouvelle-Calédonie. Ainsi, les branches d'*Acropora* sont particulièrement fines et élancées, ce qui leur permet de lutter contre l'envasement et de disposer de suffisamment de lumière.

4.2 BAIE KWÉ

La baie Kwé rassemble, sur une faible superficie, des communautés riches et diversifiées.

Ces dernières sont organisées selon un gradient côte-large déterminé par l'importance relative des influences terrigènes et océaniques. Les différentes composantes de cet écosystème interagissent entre elles et réalisent ainsi un équilibre dynamique. Les résultats obtenus dans la baie Kwé semblent indiquer que ce milieu ne subit pas de perturbation importante liée à des activités humaines. De plus, cette baie a pour particularité d'être en contact direct avec le milieu océanique (canal de la Havanah), ce qui permet de réaliser une transition rapide entre les domaines terrestre et marin. Ces caractéristiques soulignent l'intérêt écologique de cet écosystème.

Les différentes composantes des communautés littorales marines de la baie Kwé (mangrove, herbier et récif) ont un rôle écologique majeur. La mangrove, est considérée classiquement comme un filtre qui piège les particules terrigènes véhiculées par la rivière (Nair et Hashimi, 1986), la charge solide des eaux est ainsi limitée (Trescases, 1969). Cependant, dans le cas de la baie Kwé ce rôle pourrait ne pas être si important. En effet, les stations situées à proximité de l'estuaire présentent une proportion importante de vase. Plusieurs raisons peuvent être apportées. Soit, la superficie de la mangrove située dans l'estuaire est trop faible pour constituée un filtre efficace, soit l'apport sédimentaire naturel est très important (Rebatel com; pers.) Malgré tout, des structures récifales importantes se sont développées.

Ces derniers constituent une barrière contre les agressions marines (houle du large, tempêtes, etc.) et limitent l'hydrodynamisme créant ainsi des conditions favorables au développement de la mangrove (David, 1985; Rougerie, 1986). T&W Consultant notent la présence d'un herbier dans la partie Nord-Ouest de la Baie que nous n'avons pas retrouvé dans notre étude. En conséquence, la plupart des espèces de poissons caractéristiques des herbiers comme Lethrinus harak et Parupeneus sp., et recensées par T&W Consultant, n'ont pas été observées au cours de cette étude. Plusieurs raisons peuvent être apportées pour expliquer ces différences. En premier lieu, ne disposant pas des coordonnées géographiques précises, la station échantillonnée dans la présente étude ne se situe pas exactement au même emplacement (Ce qui soulignerait l'étendue limitée de cet herbier). En second lieu, une augmentation de la teneur en particules fines pourrait être responsable d'un envasement de cette baie et d'une régression de l'herbier, comme le précisaient T&W Consultants. La présence d'un pourcentage beaucoup plus important de vase rencontré au niveau des stations situées à proximité de l'estuaire (station n°4 et n°5) permet de pencher en faveur de cette explication. D'autres investigations permettront de trancher sur l'existence de cet herbier Sur le plan biologique, la mangrove, l'herbier et le récif sont des systèmes très productifs (Birkeland, 1985). La mangrove et l'herbier utilisent des éléments nutritifs d'origine terrigène pour la plupart et participent à un enrichissement des eaux côtières dont profite le récif (Cintron et Schaeffer-Novelli, 1983 ; Wiebe, 1987 ; Parrish, 1989). De pus, les juvéniles sont particulièrement abondants dans ces zones peu profondes où ils exploitent les ressources alimentaires disponibles et bénéficient d'une protection contre les prédateurs (Blaber et Blaber, 1980 ; Cyrus, 1984 ; Robertson et Duke, 1987 ; Thollot, 1992).

4.3 LE CANAL WOODIN

La station témoin située au niveau de la "pointe des Pins" n'est pas soumise aux impacts du projet. Il s'agit un récif frangeant situé à flanc de colline dans une baie large et abritée. L'absence de route rend cette baie relativement préservée des impacts anthropiques directs. La valeur écologique du site est grande. En effet, c'est sur cette station que la plus forte abondance en corail vivant a été rencontrée. Il en est de même pour la diversité en corail et en macrobenthos. Cette station présente une richesse spécifique en poissons parmi la plus élevée (53 espèces) et la densité la plus forte (1370.1 10⁻² poissons/m²).

4.4 LA BAIE DE GORO

La baie de Goro est caractérisée par la présence d'un récif riche et diversifié, représenté par des champs d'*Acropora* et des massifs de *Porites*. Ce récif est soumis à l'influence de la rivière Wajana. La faible profondeur (3m) rend cette zone particulièrement sensible à toute perturbation de l'environnement. La modification de la teneur en particules fines de même que la présence de particules toxiques pourraient avoir des répercutions importantes à court ou moyen termes sur la flore et la faune présentes. La présence dans cette baie d'une importante communauté de poissons (riche et diversifiée) ajoute à cette baie une valeur ecosystémique importante.

L'intérêt écologique de cette baie est lié àson importance socioculturelle et économique pour les populations locales. En effet, la présence à proximité de lieux de pêche et de plongée privilégiés (faille aux requins, canal de la Havannah) permet d'apporter des sources de revenus aux populations locales (gîtes, club de plongées, excursions).

5 LES MAMMIFÈRES MARINS

L'analyse bibliographique présentée dans cette partie traite essentiellement de la baleine à bosse (*Megaptera novaeangliae*). À l'exception de quelques dauphins peu de mammifères marins sont présents dans la zone. À notre connaissance, aucun Dugong (*Dugong dugong*) n'a été recensé dans cette partie du lagon Sud.

Les premières observations de baleines en Nouvelle-Calédonie remontent à 1842 (Pisier, 1975). Par la suite, le nombre d'observations n'a pas cessé d'augmenter. Un programme d'étude sur les cétacés de Nouvelle-Calédonie a débuté en 1991 (Garrigue & Gill, 1994). L'ensemble des données recueillies a permis d'identifier dix espèces de cétacés. L'espèce sur laquelle les observations se sont concentrées est la baleine à bosse (*Megaptera novaeangliae*).

Les études menées ont pour but de déterminer la répartition spatiale de ces individus autour de la Nouvelle-Calédonie et la période de l'année au cours de laquelle ils fréquentent les eaux du lagon. De plus, il est possible d'identifier les individus afin d'estimer la taille de la population et de connaître leurs comportements migratoires par la photo identification et les analyses génétiques. Certaines de ces études ont été publiées mais ne sont pas disponibles pour l'instant.

5.1 LA RÉPARTITION SPATIALE

Des baleines à bosse sont régulièrement observées autour de la Nouvelle-Calédonie et des îles Loyauté (Garrigue & Gill, 1994). Plus de la moitié des rencontres (62.2% en 1991 et 47.9 1992) a été faite dans la partie sud de la Grande Terre au niveau de la baie du Prony et du canal de la Havannah, dans la zone d'influence du projet Goro-Nickel (voies maritimes, rejets).

5.2 LA RÉPARTITION TEMPORELLE

La période de l'année au cours de laquelle les baleines à bosse fréquentent les eaux néo-calédoniennes s'étale de juin à Novembre-décembre. Les pics de fréquentation se situent entre août et septembre avec de 62.2% à 67.1% des observations (Garrigue & Gill, 1994).

5.3 ESTIMATION DE LA TAILLE DE LA POPULATION

Grâce aux études menées depuis 1991 il a été possible de suivre les individus afin d'estimer la taille de la population, et de savoir si les mêmes individus revenaient chaque année dans nos eaux.

En 1996, 19% des individus identifiés avaient été aperçus les années précédentes. Cette valeur était de 7% en 1995 (Greaves & Garrigue, 1998). Les chiffres montrent de plus que la taille de la population est faible. Les estimations donnent entre 126±100 individus au minimum et 243±97 au maximum (Greaves & Garrigue, 1998).

5.4 COMPORTEMENTS MIGRATOIRES

La photographie a permis d'identifier, en Nouvelle-Calédonie, des individus précédemment observés au niveau de la zone Est de l'Australie. Ceci confirme la présence de courants migratoires entre ces deux zones. Ces données sont confortées par l'existence de similitudes importantes dans les chants des individus.

Les baleines àbosse sont organisées d'une part en groupes de plusieurs individus sans nouveau-né et d'autre part en individus solitaires (probablement les mères) accompagnés de jeunes. L'arrivé des baleines en Nouvelle-Calédonie correspond à la période de reproduction observée dans d'autres régions du monde (Simmon & Marsh, 1986). Les baleines àbosse migreraient en Nouvelle-Calédonie pour mettre bas.

Elles trouveraient dans les eaux du lagon Sud des conditions favorables pour mettre bas (profondeurs, abondance de récif et îlots protecteurs). Les eaux du lagon Sud-Ouest ne constitueraient pas une étape dans une migration qui les conduiraient plus au nord, mais une destination finale. Ceci est conforté par l'observation fréquente d'individus (adultes et de nouveau-nés) autour de la Nouvelle-Calédonie durant l'hiver et le printemps austral, de comportements de groupe caractéristique (chants fréquents) et d'individus juvéniles (Baker et al., 1990).

Pour ces raisons les eaux du lagon Sud, où l'on observe les plus grands nombre, présentent donc un intérêt écologique important.

6 CONCLUSIONS

A la vue des premiers résultats, l'ensemble des stations échantillonnées au cours de cette étude indique la présence d'écosystèmes riches et diversifiés. Ces caractéristiques soulignent l'intérêt écologique de l'ensemble de cette zone. Ceci étant particulièrement vrai pour les stations de la baie du Prony, du canal Woodin et du lagon de Goro mais moins pertinent pour les stations internes de la baie Kwé.

Le présent travail n'est qu'un rapport préliminaire d'avancement des travaux. Une analyse plus poussée des résultats acquis au cours de cette étude, de même que ceux obtenus au cours d'études précédentes, sera faite à l'occasion du rapport final. Enfin, dans ce dernier un exposé des risques majeurs et des recommandations sera fait.

Concernant l'analyse bibliographique des mammifères marins, une analyse complémentaire sur l'impact de la fréquentation humaine dans ces zones lors de la présence des cétacés, sur leurs comportements (échouages) est en cour et sera jointe au rapport final. Il est important de noter qu'il existe un grand nombre de données non publiées. Il conviendrait que la société INCO fasse une demande officielle à l'association 'Opération Cétacés' pour que ces données puissent être utilisées dans le cadre du projet 'Goro Nickel'

7 RÉFÉRENCES BIBLIOGRAPHIQUES

- **BIRKELAND C.,** 1985. Ecological interactions between tropical coastal ecosystems. *UNEP Regional Seas Rep. Studies* **73**: 1-26.
- **BLABER S.J.M. & T.G. BLABER.,** 1980. Factors affecting the distribution of juvenile estuarine and inshore fish. *J. Fish Biol.* **17**: 143-162.
- BAKER C.S., PALUMBI S.R., LAMBERTSON R.H., WEINRICH M.T., CALAMBOKIDIS J. & O'BRIEN S.J., 1990.Influence of seasonal migration on geographic distribution of mitochondrial DNA haplotypes in humpback whales. *Nature*, *Lond.*, 344 : 238-240.
- CINTRON G. ET Y. SCHAEFFER-NOVELLI, 1983. Mangrove forests: ecology and response to natural and man induced stressors. *UNESCO Rep. Mar. Sci.* 23: 87-113.
- CYRUS P. (1984). The influence of turbidity on fish distribution in Natal estuaries. *Ph. D. Thesis, University of Natal, Pietermaritzburg (Afrique du Sud)*: 202 p.
- DAVID G., 1985. Pêche de subsistance et milieu naturel : les mangroves de Vanuatu et leur intérêt halieutique. Notes et Documents d'Océanographie. Mission ORSTOM de Port-Vila (Vanuatu), 13 : 67 p.
- **Dugas, F. & DEBENAY J.P.,** 1980. Carte sédimentologique et carte annexe du lagon de Nouvelle-Calédonie à 1/50000. *Feuille Prony. Notice Explicative.* ORSTOM, Paris (France), 91 : 35 p. + 2 cartes.
- English. S., C. Wilkinson & V. Baker, 1994. Survey manual for tropical marine resources. *A.I.M.S., Townsville (Australie)*: 368 p.
- **GARRIGUE C. & GILL P.C.**, 1994. Observations of Humpback whales *Megaptera novaeanglia* in New Calédonia waters during 1991-1993. *Biol. Cons.* 70 : 211-218.
- **GREAVES J. & GARRIGUE C.,** 1998. First record of false killer whales (Pseudorca crassidens) in New Calédonia, South Pacific. *Memoirs of Queensland Museum,* 43 (2), 588p.
- KULBICKI M, BARGIBANT G, MENOOU JL, MOU THAM G, THOLLOT P, WANTIEZ L & WILLIAMS J, 1994. Evaluation des ressources en poissons du lagon d'Ouvéa. Convention Sci Mer Biol Mar ORSTOM Nouméa 31: 1-448.
- Kulbicki M, Mou Tham G, Thollot P, Wantiez L, 1993. Length-weight relationships of fish from the lagoon of New-Caledonia. *Fishbyte April-July*: 26-30.
- KULBICKI M, LABROSSE P & LETOURNEUR Y, 1995. Survey of the reef fish resources by visual censuses in the northern lagoon of New Caledonia: first results. *Joint FFA/SPC Workshop Manag South Pacific Inshore Fish Tech Doc* 9 BP 53.
- KULBICKI M & SARRAMEGNA S, 1999. Comparison of density estimates derived from stip transect and distance sampling for underwater visual census: a case study of Chaetodontiidae and Pomacantidae. Aquat Living Resourc 12 (5): 315-325.
- LABOUTE P., GRANDPERRIN R. & FEUGA M., 1991. Le plus beau lagon du monde. Ed. Alizés, Nouméa (Nouvelle-Calédonie): 272 p.
- LABROSSE P, LETOURNEUR Y, KULBICKI M, MAGRON F, 1999. A new database on the biology and ecology of lagoon and reef fishes of the south pacific. Exemple of its use on the ecology of commercial herbivorous fishes. *Proc* 5th *Indo-Pacific Fish Conf* 1: 657-672
- **LETOURNEUR Y, KULBICKI M, LABROSSE P**, 1998. Lenght-weight relationship of fishes from coral reefs and lagoons of New Caledonia An update. *Naga, the ICLARM* 16: 26-30.
- NAIR R.R., & HASHIMI N.H., 1986. Influence of estuaries on shelf sediment texture. J. Coast. Res. 2: 199-203.
- **PARRISH J. D.,** 1989. Fish communities of interacting shallow-water habitats in tropical oceanic regions. *Mar. Ecol. Prog. Ser.* **58**: 143-160.
- **PISIER G.,** 1975. Les aventures du capitaine Cheyne dans l'archipel Calédonien 1841-1842. Société d'études historiques de la Nouvelle-Calédonie, Nouméa.
- ROBERTSON A.I. ET N.J. DUKE, 1987. Mangroves as nursery sites: comparisons of the abundance and species of fish and crustaceans in mangroves and other nearshore habitats in tropical Australia. *Mar. Biol.* 96: 193-205
- **ROUGERIE F.,** 1986. Le lagon Sud-Ouest de la Nouvelle-Calédonie : spécificité hydrologique, dynamique et productivité. *Etudes et Thèses : ORSTOM, Paris (France)* : 233 p.

- SIMMONS M.L. & MARSH H., 1986. Sightings of Humpback whales in Great Barrier Reef Waters. Sci. Rep. Whales Res. Inst., 37: 31-46.
- **TESTAU J. L. & F. CONAND,** 1983. Estimations des surfaces des différentes zones des lagons de Nouvelle-Calédonie. *Rapp. : ORSTOM,* Nouméa : 5 p.
- **THOLLOT P.,** 1992. Les poissons de mangrove du lagon Sud-Ouest de Nouvelle-Calédonie. Ecologie des peuplements. Relations avec les communautés ichtyologiques côtières. *Thèse Doct. : Univ. Aix-Marseille II (France)*: 406 p.
- **THOLLOT & WANTIEZ CONSULTANTS**, 1994. Etude de caractérisation biologique des milieux marins et dulçaquicoles sur la région de Prony. Projet Goro-Nickel. *Rapport A2EP*, 78pp.
- **THOLLOT & WANTIEZ CONSULTANTS**, 1996. Evaluation des impacts du projet GORO-NICKEL sur les communautés biologiques marines de la baie Kwé et de la zone portuaire de Prony. *Rapport A2EP*, 37pp.
- **TRESCASES J.J.**, 1969. Premières observations sur l'altération des péridotites en Nouvelle-Calédonie. Pédologie, géochimie et géomorphologie. *Cah. ORSTOM, Ser. Géol.* 1 : 27-57.
- WIEBE W.J., 1987. Nutrient pools and dynamics in tropical, marine, coastal environments, with special reference to the Caribbean and Indo-west Pacific regions. UNESCO Rep. Mar. Sci., 46: 19-42

Annexe

Tableaux des caractéristiques des stations

LISTE DES TABLEAUX

Tableau 1 : Catégories de substrats retenus pour l'échantillonnage
Tableau 2 : Indices d'abondance semi-quantitatifs retenus pour l'échantillonnage du benthos
Tableau 3 : Caractéristiques écologiques du benthos de la station n°1 (îlot Casy). Les chiffres entre parenthèses correspondent aux indices semi-quantitatifs du tableau n°2.
Tableau 4 : Caractéristiques ichtyologiques de la station n°1 (îlot Casy). Dens : Densité ; Biom : Biomasse
Tableau 5 : Caractéristiques écologiques du benthos de la station n°2 (pointe sud du Warf). Les chiffres entre parenthèses correspondent aux indices semi-quantitatifs du tableau n°2.
Tableau 6 : Caractéristiques ichtyologiques de la station n°2 (pointe sud du Wharf). Dens : Densité ; Biom : Biomas.
Tableau 7 : Caractéristiques écologiques du benthos de la station n°3 (Sud-Est de la baie Kwé). Les chiffres entre parenthèses correspondent aux indices semi-quantitatifs du tableau n°2.
Tableau 8 : Caractéristiques ichtyologiques de la station n°3 (partie Sud-Est de la baie Kwé). Dens : Densité ; Biom Biomasse
Tableau 9 : Caractéristiques écologiques du benthos de la station n°4 (Nord-Est de la baie Kwé). Les chiffres entre parenthèses correspondent aux indices semi-quantitatifs du tableau n°2.
Tableau 10 : Caractéristiques ichtyologiques de la station n°4 (partie Nord-Est de la baie Kwé). Dens : Densité ; Biom : Biomasse
Tableau 11 : Caractéristiques écologiques du benthos de la station n°5 (Nord-Ouest de la baie Kwé). Les chiffres entre parenthèses correspondent aux indices semi-quantitatifs du tableau n°2
Tableau 12 : Caractéristiques ichtyologiques de la station n°5 (partie Nord-Ouest de la baie Kwé). Dens : Densité ; Biom : Biomasse
Tableau 13 : Caractéristiques écologiques du benthos de la station n°6 (Sud-Ouest de la baie Kwé). Les chiffres ent parenthèses correspondent aux indices semi-quantitatifs du tableau n°2.
Tableau 14 : Caractéristiques ichtyologiques de la station n°6 (partie Sud-Ouest de la baie Kwé). Dens : Densité ; Biom : Biomasse.
Tableau 15 : Caractéristiques écologiques du benthos de la station n°7 (pointe des Pins). Les chiffres entre parenthèses correspondent aux indices semi-quantitatifs du tableau n°2.
Tableau 16 : Caractéristiques ichtyologiques de la station n°7 (pointe des Pins). Dens : Densité ; Biom : Biomasse.
Tableau 17 : Caractéristiques écologiques du benthos de la station n°8 (baie de Goro). Les chiffres entre parenthès correspondent aux indices semi-quantitatifs du tableau n°2.
Tableau 18 : Caractéristiques ichtvologiques de la station n°8 (baie de Goro). Dens : Densité : Biom : Biomasse.

Tableau 1 : Catégories de substrats retenus pour l'échantillonnage

	_	-
Catégori	ies	Description
Corail mort		couleur blanche
Corail mort avec algues		Corail mort recouvert d'algues
Acropora	Branchu	au moins 2 niveaux de branches
	Encroûtant	
	Submassif	
	Digité	branche en forme de doigts
	Tabulaire	branches aplaties horizontalement
Non-Acropora	Branchu	au moins 2 niveaux de branches
	Encroûtant	
	Foliaire	corail en forme de feuille
	Massif	
	Submassif	
	Fungia	corail solitaire
	Millepora	corail de feu
Corail mou		
Eponges		
Zoanthaires		
Autres		Ascidies, Anémones, Gorgones, Bénitiers.
Algues	Assemblages	
	Calcaire	
	Halimeda	
	Macroalgue	
	Filamenteuse	
Abiotique	Sable	particules < 2 cm
	Débris	particules > 2 cm
	Vase	
	Eau	crevasse de plus de 50 cm
	Roche	

Tableau 2 : Indices d'abondance semi-quantitatifs retenus pour l'échantillonnage du benthos.

Indices	Limite	s des classes
	Individus	% de recouvrement
1	1	< 1
2	2-5	1-2
3	6-10	3-5
4	11-50	6-20
5	> 50	>20

 $\label{eq:constraint} Tableau\ 3: Caractéristiques\ \acute{e}cologiques\ du\ benthos\ de\ la\ station\ n^\circ 1\ (\^{\it i}lot\ Casy).\ Les\ chiffres\ entre\ parenth\`eses\ correspondent\ aux\ indices\ semi-quantitatifs\ du\ tableau\ n^\circ 2.$

	BENTHOS	
Algues	Mollusques	Ascidies
Halimeda macroloba (4)	Tridacna maxima (1)	Ascidies indéterminées (2)
Eponges	Echinodermes	
Eponge indéterminée (4)	Acanthaster planci (1)	
Alcyonaires	Fromia monilis (1)	
Sarcophyton sp. (4)	Holoturia nobilis (1)	
Lobophyton sp. (3)	Holothuria edulis (2)	
Simularia sp. (3)	Oxycomanthus bennetti (3)	

 $Tableau\ 4: Caract\'eristiques\ ichtyologiques\ de\ la\ station\ n^\circ 1\ (\^{l}lot\ Casy).\ Dens:\ Densit\'e\ ;\ Biom:\ Biomasse.$

Espèces	Dens (10 ⁻² poissons/ m ²)	Biom(g/m ²)
Plectropomus leopardus	4.660	18.70
Diploprion bifasciatum	0.364	0.28
Plectorhinchus chaetodonoides	0.400	6.48
Scolopsis bilineatus	1.775	0.95
Parupeneus bifasciatus	0.686	2.86
Parupeneus cyclostomus	0.182	0.45
Parupeneus ciliatus	0.222	0.40
Parupeneus multifasciatus	0.686	2.48
Chaetodon auriga	0.444	0.21
Chaetodon baronessa	1.200	0.52
Chaetodon flavirostris	0.222	0.07
Chaetodon trifascialis	1.086	0.33
Chaetodon trifasciatus	2.916	1.02
Abudefduf septemfasciatus	2.508	0.29
Abudefduf sexfasciatus	3.491	0.87
Abudefduf whitleyi	2.127	0.45
Amblyglyphidodon curacao	20.288	1.14
Chromis viridis	40.178	0.95
Chrysiptera taupou	0.400	0.01
Chrysiptera leucopoma	5.767	0.05
Chrysiptera rex	4.300	0.13
Neopomacentrus azysron	10.000	0.09
Neopomacentrus violascens	16.564	0.15
Neoglyphidodon nigroris	1.333	0.05
Pomacentrus philippinus	9.152	0.11
Pomacentrus moluccensis	164.061	2.19
Pomacentrus smithi	8.629	0.07
Stegastes nigricans	1.333	0.08
Labridae spp	10.000	0.56
Bodianus axillaris	0.400	0.46
Cheilinus chlorourous	3.371	5.15
Oxycheilinus diagrammus	0.286	0.52
Choerodon graphicus	0.400	3.76
Gomphosus varius	0.286	0.10
Halichoeres marginatus	0.571	0.03
Hemigymnus melapterus	5.441	2.96
Labroides dimidiatus	0.686	0.09
Thalassoma lunare	1.352	0.22
Scarus bleekeri	0.444	3.58
Scarus flavipectoralis	28.332	67.92
Scarus rivulatus	12.519	57.64
Scarus sordidus	5.371	3.70
Blenniidae spp	0.286	0.01
Meicanthus atrodorsalis	0.571	0.00
Acanthurus blochii	14.806	78.24
Ctenochaetus striatus	2.343	6.13
Zebrasoma scopas	1.238	1.20
Zebrasoma scopas Zebrasoma veliferum	0.857	2.49
Siganus corallinus	0.794	1.87
Siganus doliatus	0.794 4.146	1.87
Siganus aottatus Siganus puellus	2.421	2.91
Siganus puetius Siganus vulpinus	2.421 0.586	0.40
Oxymonacanthus longirostris	0.800	0.40
Richesse spécifique : 54 espèces	0.800 Total : 403.728	0.05 Total: 295.79

Tableau 5 : Caractéristiques écologiques du benthos de la station n°2 (pointe sud du Warf). Les chiffres entre parenthèses correspondent aux indices semi-quantitatifs du tableau n°2.

BENTHOS		
Algues	Mollusques	
Halimeda sp.cf capiosa (4)	Tridacna maxima (1)	
Halimeda macroloba (4)	Echinodermes	
Chlorodesmis fastigiata (1)	Nardoa novaecaledoniae (3)	
Eponges	Fromia monilis (1)	
Eponge indéterminée (5)	Acanthaster planci (1)	
Coraux	Diadema setosum (2)	
Fungia sp.(4)	Holothuria edulis (2)	
Alcyonaires	Ascidies	
Sarcophyton sp. (4)	Ascidie indéterminée (2)	
Lobophyton sp. (1)		
Simularia sp. (2)		

 $\label{eq:continuous} \begin{table} Tableau 6: Caractéristiques ichtyologiques de la station n^2 (pointe sud du Wharf). Dens : Densit\'e ; Biom : Biomasse. \end{table}$

Espèces	Dens(10 ⁻² poissons/m ²)	Biom(g/m ²)
Cheilodipterus quinquelineatus	2.667	0.03
Scolopsis bilineatus	4.800	4.37
Parupeneus cyclostomus	0.667	1.45
Chaetodon trifasciatus	6.533	2.18
Amblyglyphidodon curacao	12.674	0.70
Amblyglyphidodon leucogaster	8.131	0.03
Chromis amboinensis	2.000	0.08
Chromis viridis	7.600	0.02
Chrysiptera rollandi	22.875	0.16
Dascyllus aruanus	4.349	0.08
Neopomacentrus azysron	63.845	0.81
Neoglyphidodon nigroris	2.000	0.01
Pomacentrus amboinensis	0.508	0.03
Pomacentrus imitator	13.486	0.13
Pomacentrus philippinus	4.400	0.06
Pomacentrus moluccensis	58.472	0.74
Pomacentrus smithi	110.167	1.02
Stegastes nigricans	6.800	0.56
Labridae spp	2.000	0.02
Cheilinus chlorourous	2.000	0.16
Halichoeres marginatus	2.000	0.08
Hemigymnus melapterus	2.000	0.11
Labroides dimidiatus	2.667	0.05
Thalassoma hardwicke	0.154	0.03
Thalassoma lunare	3.676	0.64
Scarus flavipectoralis	11.257	21.00
Meicanthus atrodorsalis	0.952	0.01
Valenciennea sp	4.000	0.06
Acanthurus blochii	0.571	1.87
Zebrasoma veliferum	0.400	0.21
Siganus doliatus	0.286	0.30
Richesse spécifique : 31 espèces	Total: 363.936	Total: 36.99

Tableau 7 : Caractéristiques écologiques du benthos de la station n°3 (Sud-Est de la baie Kwé). Les chiffres entre parenthèses correspondent aux indices semi-quantitatifs du tableau n°2.

BENTHOS
Algues
Neomeris anulata (4)
Eponges
Spirastrella vagabunda (4)
Vers
Spirobranchus giganteus (3)
Echinodermes
Echinometra mathaei (1)
Holothuria atra (2)
Holothuria nobilis (2)

Tableau 8 : Caractéristiques ichtyologiques de la station n°3 (partie Sud-Est de la baie Kwé). Dens : Densité ; Biom : Biomasse.

Espèces	Dens(10 ⁻² poissons/m ²)	Biom(g/m ²)
Scolopsis bilineatus	1.365	0.99
Parupeneus barberinus	0.667	3.55
Parupeneus cyclostomus	0.667	3.82
Chaetodon plebeius	0.686	0.13
Amphiprion clarkii	0.286	0.04
Chromis viridis	6.558	0.14
Chrysiptera taupou	4.000	0.03
Dascyllus aruanus	6.000	0.16
Pomacentrus amboinensis	0.222	0.01
Pomacentrus bankanensis	1.067	0.03
Pomacentrus coelestis	1.143	0.01
Pomacentrus pavo	75.247	1.25
Pomacentrus imitator	1.333	0.01
Pomacentrus philippinus	28.124	0.34
Pomacentrus moluccensis	18.184	0.43
Bodianus loxozonus	1.333	9.01
Halichoeres hortulanus	0.286	0.09
Halichoeres marginatus	5.600	0.44
Hemigymnus melapterus	1.143	1.52
Labroides dimidiatus	1.352	0.03
Thalassoma jansenii	0.571	0.13
Thalassoma lunare	4.089	0.61
Scarus sp.	19.390	81.53
Cetoscarus bicolor	0.857	0.08
Scarus schlegeli	2.667	6.98
Scarus sordidus	0.222	0.59
Parapercis cylindrica	0.400	0.02
Valenciennea strigata	0.222	0.07
Acanthurus blochii	25.841	186.78
Acanthurus xanthopterus	0.286	0.53
Siganus argenteus	3.619	3.80
Sufflamen chrysopterus	0.286	0.24
Richesse spécifique : 32 espèces	Total: 213.712	Total: 303.39

Tableau 9 : Caractéristiques écologiques du benthos de la station n°4 (Nord-Est de la baie Kwé). Les chiffres entre parenthèses correspondent aux indices semi-quantitatifs du tableau n°2.

BENTHOS	
Algues	Echinodermes
Actinotrichia fragilis (4)	Diadema setosum (1)
Eponges	Fromia monilis (2)
Spirastrella vagabunda (2)	
Eponge indéterminée (2)	
Coraux	
Fungia sp.(4)	
Alcyonaires	
Sarcophyton sp. (5)	
Mollusques	
Tridacna maxima (1)	
Cyprae tigris (1)	

 $\label{eq:continuous} Tableau\ 10: Caractéristiques\ ichtyologiques\ de\ la\ station\ n^{\circ}4\ (partie\ Nord-Est\ de\ la\ baie\ Kw\'e).\ Dens\ :\ Densit\'e\ ;\\ Biom:\ Biomasse.$

Espèces	Dens(10 ⁻² poissons/m ²)	Biom(g:m ²)
Cephalopholis argus	0.286	0.15
Epinephelus malabaricus	0.190	14.12
Plectropomus leopardus	0.286	1.09
Apogon aureus	12.178	0.24
Lutjanus fulviflamma	26.800	69.80
Lutjanus fulvus	8.952	15.65
Caesio caerulaurea	90.000	57.51
Diagramma pictum	0.889	4.64
Scolopsis bilineatus	9.105	9.06
Scolopsis ciliatus	0.571	0.26
Parupeneus ciliatus	2.667	7.47
Upeneus tragula	1.994	0.87
Chaetodon auriga	0.182	0.09
Chaetodon baronessa	0.667	0.29
Chaetodon bennetti	0.800	0.46
Chaetodon plebeius	3.333	0.47
Chaetodon trifascialis	0.667	0.14
Chaetodon trifasciatus	3.953	0.84
Heniochus acuminatus	0.468	0.39
Amblyglyphidodon leucogaster	1.086	0.07
Chromis viridis	1.667	0.03
Chrysiptera rollandi	50.719	0.33
Dascyllus aruanus	2.000	0.02
Neopomacentrus azysron	74.105	0.85
Pomacentrus amboinensis	16.486	0.19
Pomacentrus coelestis	6.952	0.05
Pomacentrus imitator	20.333	0.15
Pomacentrus philippinus	6.190	0.13
Pomacentrus moluccensis	31.802	0.39
Pomacentrus smithi	37.356	0.36
Labridae spp	0.667	0.01
Halichoeres marginatus	2.000	0.11
Labroides bicolor	2.000	0.06
Labroides dimidiatus	0.400	0.01
Thalassoma lunare	7.289	0.85
Scarus sp.	3.333	15.46
Meicanthus atrodorsalis	2.000	0.05
Acanthurus blochii	4.222	14.68
Richesse spécifique : 38 espèces	Total: 434.594	Total: 217.34

Tableau 11 : Caractéristiques écologiques du benthos de la station n°5 (Nord-Ouest de la baie Kwé). Les chiffres entre parenthèses correspondent aux indices semi-quantitatifs du tableau n°2.

BENTHOS		
Algues	Vers	
Neomeris anulata (2)	Spirobranchus giganteus (1)	
Actnotrichia fragilis (2)	Mollusques	
Amphiroa foliacea (2)	Tridacna maxima (2)	
Algue indéterminée (4)	Pedum spondyloidum (2)	
Halimeda sp. cf capiosa.(2)		
Phanérogames		
Cymodocée serrulata(2)		
Eponges		
Spirastrella vagabunda (4)		
Eponge indéterminée (4)		

 $\label{eq:continuous} \begin{table} Tableau\ 12: Caractéristiques\ ichtyologiques\ de\ la\ station\ n°5\ (partie\ Nord-Ouest\ de\ la\ baie\ Kwé).\ Dens: \\ Densité;\ Biom:\ Biomasse. \end{table}$

Espèces	Dens(10 ⁻² poissons/m ²)	Biom(g/m ²)
Epinephelus merra	2.222	2.07
Echeneis naucrates	0.182	2.75
Scolopsis bilineatus	2.400	1.11
Chaetodon auriga	0.667	0.06
Chromis atripectoralis	2.000	0.04
Chrysiptera rollandi	2.463	0.02
Dascyllus aruanus	6.000	0.07
Neopomacentrus azysron	17.167	0.36
Pomacentrus amboinensis	8.952	0.23
Pomacentrus pavo	11.543	0.15
Pomacentrus imitator	0.400	0.00
Pomacentrus philippinus	10.108	0.17
Stegastes nigricans	2.152	0.11
Cirrhitichthys falco	1.333	0.08
Labridae spp	4.667	0.16
Halichoeres marginatus	2.971	0.15
Halichoeres trimaculatus	0.286	0.07
Thalassoma lunare	10.319	1.14
Parapercis cylindrica	0.400	0.08
Parapercis hexophtalma	2.000	0.98
Blenniidae spp	1.733	0.06
Gobiidae spp	4.133	0.17
Ptereleotris hanae	2.000	0.10
Ptereleotris microlepis	0.800	0.00
Richesse spécifique : 24 espèces	Total : 96.899	Total: 10.11

 $Tableau\ 13: Caractéristiques\ écologiques\ du\ benthos\ de\ la\ station\ n^\circ 6\ (Sud-Ouest\ de\ la\ baie\ Kw\'e).\ Les\ chiffres\ entre\ parenthèses\ correspondent\ aux\ indices\ semi-quantitatifs\ du\ tableau\ n^\circ 2.$

BENTHOS		
Algues	Actiniaires	
Halimeda sp. cf. capiosa.(5)	Anémone indéterminée (2)	
Halimeda macroloba(2)	Fungia sp. (4)	
Algue indéterminée (4)	Alcyoniares	
Algues sp1 (1)	Sarcophyton sp.(4)	
Eponges	Simularia sp. (1)	
Spirastrella vagabunda (2)	Vers	
Cliona shmiti (3)	Spirobranchus giganteus (2)	
Eponges indéterminée sp2 (2)	Mollusques	
Eponges indéterminée sp3 (4)	Tridacna maxima (1)	
Eponges indéterminée sp4 (1)		

 $\label{eq:controller} \begin{table} Tableau\ 14: Caractéristiques\ ichtyologiques\ de\ la\ station\ n^\circ 6\ (partie\ Sud-Ouest\ de\ la\ baie\ Kw\'e).\ Dens: Densit\'e\ ;\ Biom: Biomasse. \end{table}$

Espèces	Dens(10 ⁻²	Biom(g/m²)
	poissons/m²)	
Macolor niger	0.182	0.11
Scolopsis bilineatus	3.022	1.80
Chaetodon auriga	0.404	0.17
Chaetodon baronessa	2.222	1.18
Chaetodon flavirostris	0.400	0.12
Chaetodon pelewensis	5.067	1.23
Chaetodon plebeius	0.286	0.05
Chaetodon trifascialis	0.971	0.21
Chaetodon trifasciatus	9.598	2.48
Chaetodon ulietensis	0.182	0.07
Centropyge bicolor	1.130	0.13
Centropyge bispinosus	0.800	0.06
Centropyge tibicen	2.400	0.19
Amblyglyphidodon curacao	2.286	0.14
Amblyglyphidodon leucogaster	6.171	0.20
Amphiprion akindynos	1.257	0.14
Chromis amboinensis	0.400	0.01
Chromis atripectoralis	0.857	0.01
Chromis viridis	4.286	0.08
Chromis flavomaculata	0.667	0.01
Chrysiptera taupou	2.089	0.02
Chrysiptera rex	2.730	0.02
Chrysiptera rollandi	6.575	0.05
Dascyllus aruanus	6.895	0.18
Neoglyphidodon nigroris	4.639	0.15
Pomacentrus amboinensis	6.973	0.13
Pomacentrus pavo	0.182	0.00
Pomacentrus philippinus	22.821	0.33
Pomacentrus moluccensis	93.989	1.66
Stegastes nigricans	2.978	0.17
Anampses caeruleopunctatus	0.857	0.05
Bodianus loxozonus	1.022	5.15
Cheilinus chlorourous	2.667	2.96
Oxycheilinus unifasciatus	0.222	0.20
Choerodon graphicus	0.800	6.23
Gomphosus varius	0.286	0.01

Halichoeres marginatus	5.333	0.35
Hemigymnus fasciatus	1.733	0.94
Hemigymnus melapterus	1.697	0.64
Labroides dimidiatus	4.324	0.11
Thalassoma lunare	3.371	0.34
Thalassoma lutescens	0.182	0.03
Scarus sp.	3.486	0.20
Scarus rivulatus	1.333	7.99
Scarus schlegeli	2.590	1.00
Scarus sordidus	32.513	7.37
Meicanthus atrodorsalis	0.222	0.00
Acanthurus sp.	0.286	0.01
Acanthurus dussumieri	1.067	3.62
Acanthurus blochii	3.697	15.18
Ctenochaetus striatus	5.470	7.09
Naso annulatus	0.800	1.22
Zebrasoma scopas	9.915	4.58
Zebrasoma veliferum	2.000	0.81
Siganus doliatus	3.352	6.25
Siganus vulpinus	4.000	1.49
Oxymonacanthus longirostris	1.987	0.07
Canthigaster valentini	0.286	0.01
Richesse spécifique : 58 espèces	Total : 287.957	Total : 85.01

Tableau 15 : Caractéristiques écologiques du benthos de la station n°7 (pointe des Pins). Les chiffres entre parenthèses correspondent aux indices semi-quantitatifs du tableau n°2.

	BENTHOS	
Algues	Eponges sp5 (2)	Mollusques
Halimeda macroloba (3)	Eponges sp6 (1)	Pedum spondyloidum (3)
Actinotrichia fragilis (2)	Coraux	Echinodermes
Chlorodesmis fastigiata (2)	Fungia sp.(5)	Diadema setosum (2)
Volonia ventricosa (1)	Tubastrea micrantha (5)	Fromia monilis (2)
Algue indéterminée (1)	Juncella fragilis (2)	Etoile de mer sp3 (3)
Eponges	Alcyonaires	Holothurian edulis (2)
Cliona schmidti (3)	Sarcophyton sp. (4)	Crinoide indéterminnée sp1 (5)
Eponge indéterminée (3)	Simularia sp. (1)	Crinoide indéterminnée sp2 (4)
Eponges sp4 (3)	Dendronephtya sp. (2)	Ophiure indéterminée (2)

 $\label{eq:continuous} \begin{table} Tableau\ 16: Caractéristiques\ ichtyologiques\ de\ la\ station\ n°7\ (pointe\ des\ Pins).\ Dens:\ Densit\'e\ ;\ Biom:\ Biomasse. \end{table}$

Espèces	Dens(10-2/m2)	Biom(g/m2)
Neoniphon sp.	0.182	0.21
Aulostomus chinensis	2.154	1.14
Cephalopholis boenack	2.533	1.57
Epinephelus merra	0.154	0.35
Plectropomus leopardus	2.539	17.10
Caesio cuning	0.667	1.93
Scolopsis bilineatus	0.286	0.21
Parupeneus ciliatus	2.286	15.30
Parupeneus multifasciatus	0.182	0.34
Chaetodon baronessa	0.800	0.46
Chaetodon ephippium	0.364	0.27
Chaetodon trifasciatus	2.000	0.62
Centropyge tibicen	0.404	0.03
Amblyglyphidodon curacao	1.467	0.10
Amblyglyphidodon leucogaster	1.153	0.08

Chromis atripes	1.600	0.03
Chromis viridis	25.467	0.53
Chromis ternatensis	1.429	0.03
Chrysiptera taupou	8.139	0.04
Chrysiptera rollandi	74.850	0.51
Dascyllus aruanus	16.871	0.19
Neopomacentrus azysron	69.548	0.56
Pomacentrus amboinensis	0.667	0.03
Pomacentrus coelestis	15.836	0.04
Pomacentrus imitator	43.033	0.17
Pomacentrus philippinus	79.770	0.46
Pomacentrus moluccensis	157.764	1.78
Pomacentrus smithi	786.081	5.40
Oxycheilinus diagrammus	0.727	0.85
Choerodon graphicus	1.131	10.20
Epibulus insidiator	0.356	0.66
Halichoeres marginatus	4.468	0.23
Hemigymnus melapterus	3.514	3.60
Labroides dimidiatus	0.286	0.01
Thalassoma lunare	0.598	0.07
Scarus altipinnis	0.182	0.66
Scarus flavipectoralis	27.661	68.31
Scarus rivulatus	7.303	33.35
Scarus ghobban	2.978	17.97
Scarus microrhinos	0.894	6.90
Scarus niger	1.063	4.77
Scarus schlegeli	0.286	0.49
Scarus sordidus	4.966	16.02
Meicanthus atrodorsalis	0.286	0.01
Acanthurus nigricans	1.091	3.43
Ctenochaetus striatus	2.010	4.11
Zebrasoma veliferum	3.592	7.24
Siganus argenteus	5.455	10.46
Siganus lineatus	0.095	0.26
Siganus puellus	0.308	0.50
Siganus spinus	0.286	0.79
Scomberomorus commerson	2.000	273.29
Richesse spécifique : 53 espèces	Total: 1370.121	Total: 514.61

 $Tableau\ 17: Caractéristiques\ écologiques\ du\ benthos\ de\ la\ station\ n°8\ (baie\ de\ Goro).\ Les\ chiffres\ entre$ parenthèses correspondent aux indices semi-quantitatifs du tableau n°2.

BENTHOS			
Algues	Coraux	Holothuria atra (1)	
Halimeda macroloba (1)	Fungia sp.(1)	Holothuria nobilis (1)	
Halimeda cf. capiosa (2)	Alcyonaires	Holothuria fuscopunctata (1)	
Actinotrichia fragilis (1)	Sarcophyton sp. (4)	Telenota ananas (1)	
Neomeris annulata (1)	Simularia sp. (2)		
Alghe indéterminée sp1 (3)	Mollusques		
Algue indéterminée sp2 (1)	Tridacna maxima (1)		
Algue indéterminée sp3 (2)	Lambis lambis (1)		
Eponges	Echinodermes		
Cliona schmidti (3)	Holothuria edulis (2)		

Tableau 18 : Caractéristiques ichtyologiques de la station n°8 (baie de Goro). Dens : Densité ; Biom : Biomasse.

Espèces	Dens (10 ⁻² poissons/m ²)	Biom(g/m ²)
Triaenodon obesus	4.000	1700.71

Richesse spécifique : 56 espèces	Total: 325.935	Total: 1912.53
Oxymonacanthus longirostris	8.000	0.25
Siganus puellus	0.286	0.40
Siganus doliatus	0.889	0.05
Siganus corallinus	3.810	3.80
Zebrasoma veliferum	1.524	0.97
Zebrasoma scopas	4.857	2.37
Naso lituratus	0.468	1.22
Ctenochaetus striatus	6.731	13.81
Acanthurus blochii	5.864	24.66
Acanthurus nigricauda	1.022	5.04
Meicanthus atrodorsalis	0.667	0.01
Parapercis hexophtalma	0.400	0.20
Scarus sordidus	19.987	9.49
Scarus schlegeli	2.038	0.99
Scarus microrhinos	0.545	2.31
Scarus globiceps	3.238	8.17
Scarus ghobban	1.420	5.93
Scarus rivulatus	0.222	1.33
Scarus flavipectoralis	2.810	5.17
Hipposcarus longiceps	0.768	3.98
Scarus sp.	2.705	9.31
Thalassoma lunare	5.543	0.56
Labroides dimidiatus	0.667	0.00
Labroides bicolor	0.182	0.01
Hemigymnus melapterus	2.533	0.81
Halichoeres trimaculatus	0.286	0.02
Cheilinus chlorourous	0.286	0.44
Anampses caeruleopunctatus	1.175	0.12
Stegastes lividus	12.743	1.38
Pomacentrus moluccensis	38.326	0.38
Pomacentrus amboinensis	1.619	0.02
Neopomacentrus cyanomos	2.000	0.00
Dascyllus aruanus	41.483	0.41
Chrysiptera rollandi	0.667	0.00
Chromis viridis	56.532	0.70
Amblyglyphidodon leucogaster	2.571	0.17
Amblyglyphidodon curacao	17.363	0.91
Abudefduf sexfasciatus	0.649	0.02
Centropyge bicolor	0.222	0.02
Heniochus chrysostomus	0.222	0.13
Chaetodon trifasciatus Chaetodon trifasciatus	3.087	0.85
Chaetodon plebeius Chaetodon trifascialis	0.400	0.07
Chaetodon pelewensis	1.638 0.667	0.16 0.07
	0.686	
Chaetodon auriga Chaetodon bennetti	0.154	0.04 0.22
Parupeneus barberinus		
Parupeneus barberinoides	0.400 1.619	0.16 3.55
Scolopsis bilineatus	2.921	5.79
Monotaxis grandocculis	1.022	19.32
Gymnocranius sp.	2.000	52.77
Caesio caerulaurea	53.333	20.02
Lutjanus fulvus	0.222	0.53
Plectropomus leopardus	0.182	2.48
Neoniphon sp.	0.222	0.18

Annexe

Coordonnées géographiques des stations

Coordonnées géographiques des stations échantillonnées au cours de l'étude juillet 2000.

Stations	Positions G.P.S.
St1 (ïlot Casy)	22°21.720′ S
	166°50.854' E
St2 (Wharf)	22°21.231′ S
St3 (Kwé sud-est)	166°53.446′ E
	22°20.812' S
	166°59.221' E
St4 (Kwé nord-est)	22°20.448′ S
	166°59.057' E
St5 (Kwé nord-ouest)	22°20.506′ S
	166°58.885' E
St6 (Kwé sud-ouest)	22°20.852' S
	166°59.029′ E
St7 (canal Woodin)	22°20.852' S
St8 (Goro)	166°59.029' E
	22°23.117' S
	166°49.807' E